



**Ciências  
ULisboa**

Faculdade  
de Ciências  
da Universidade  
de Lisboa

BIOELECTRICIDADE E ELECTROFISIOLOGIA

---

# Resposta de um axónio não mielinizado a um campo eléctrico aplicado

---

*21 de Dezembro de 2016*

David Leitão, n°45301  
João Oliveira, n°45306

Prof. Pedro Cavaleiro Miranda

## Conteúdo

<b>1</b>	<b>Introdução</b>	<b>1</b>
<b>2</b>	<b>Materiais e Métodos</b>	<b>3</b>
2.1	Materiais . . . . .	3
2.2	Métodos . . . . .	3
2.2.1	Parte 1 - Modelo Hodgkin-Huxley . . . . .	3
2.2.2	Parte 2 - Equações do cabo . . . . .	4
<b>3</b>	<b>Resultados</b>	<b>5</b>
3.1	Parte 1 - Modelo Hodgkin-Huxley . . . . .	5
3.2	Parte 2 - Equações do cabo . . . . .	6
<b>4</b>	<b>Discussão</b>	<b>9</b>
<b>5</b>	<b>Anexos</b>	<b>13</b>
5.1	Anexo I . . . . .	13
5.2	Anexo II . . . . .	14

## Sumário

Neste trabalho, numa primeira parte, foi implementado, com recurso ao software **Matlab v2013a**, o modelo de Hodgkin-Huxley. Foram simuladas posteriormente experiências *space-clamped*, visualizando-se a propagação temporal de potenciais de ação, as correntes associadas à membrana, as condutâncias dos diferentes iões e as probabilidades das diferentes subunidades estarem abertas. Ainda se demonstrou o efeito *anode break excitation* e calculou-se a intensidade limiar de geração de potenciais de ação para um estímulo de duração  $1\text{ ms}$ .

Numa segunda parte foram implementadas as equações do cabo e simulou-se a propagação temporal e espacial de um potencial de ação, visualizando-se a evolução do potencial da membrana, da corrente axial intracelular, transmembranar, de potássio e de sódio. Determinou-se também o limiar da corrente de estimulação para um estímulo de duração  $100\text{ }\mu\text{s}$ . Foi ainda analisada a influência do raio da fibra na velocidade de propagação de um potencial de ação.

## 1 Introdução

A membrana de células excitáveis contém vários canais e bombas na sua estrutura que permitem o fluxo de iões entre os meios intracelular e extracelular. Este fluxo é regulado pelos gradientes de concentração e pelo potencial de membrana, definido como a diferença de potencial entre os meios intracelular e extracelular:  $V_m = \Phi_i - \Phi_e$ . A membrana apresenta então características resistivas e capacitivas, para além de gerarem correntes, o que é descrito pelo modelo matemático de Hodgkin-Huxley. Segundo o modelo de Hodgkin-Huxley os fluxos de cada ião são independentes, sendo apenas consideradas as correntes devido ao sódio e ao potássio. A corrente de cada um destes iões é dada por:

$$I_k(t, v_m) = g_K(t, v_m) [V_m(t) - E_K] \quad (1)$$

$$I_{Na}(t, v_m) = g_{Na}(t, v_m) [V_m(t) - E_{Na}] \quad (2)$$

Onde  $E_K$  e  $E_{Na}$  são os potenciais de Nernst para o potássio e sódio, respetivamente, e  $g_K$  e  $g_{Na}$  são as condutâncias específicas para o potássio e sódio, respetivamente. Estas condutâncias são dadas por:

$$g_K(t, v_m) = \bar{g}_K n^4(t, v_m) \quad (3)$$

$$g_{Na}(t, v_m) = \bar{g}_{Na} m^3(t, v_m) h(t, v_m) \quad (4)$$

Onde  $v_m$  é o potencial reduzido da membrana,  $v_m = V_m - V_r$  ( $V_r = -60 mV$  é o potencial de repouso da membrana),  $\bar{g}_K$  e  $\bar{g}_{Na}$  são as condutâncias específicas máximas para o potássio e o sódio, respetivamente, e  $n$ ,  $m$  e  $h$  definem a probabilidade das subunidades que constituem os canais estarem abertas. Os canais de potássio são então constituídos por quatro subunidades  $n$ , e os de sódio por três subunidades  $m$  e uma  $h$ , sendo que para um canal estar aberto todas as suas subunidades também têm de o estar. A sua dinâmica é dada assumindo uma cinética de primeira ordem:

$$\frac{dn(t, v_m)}{dt} = \alpha_n(v_m)(1 - n) - \beta_n(v_m)(n) \quad (5)$$

$$\frac{dm(t, v_m)}{dt} = \alpha_m(v_m)(1 - m) - \beta_m(v_m)(m) \quad (6)$$

$$\frac{dh(t, v_m)}{dt} = \alpha_h(v_m)(1 - h) - \beta_h(v_m)(h) \quad (7)$$

Por sua vez, as taxas  $\alpha$  e  $\beta$  apenas dependem de  $v_m$  e são dadas por:

$$\begin{cases} \alpha_n(v_m) = \frac{0.01(10-v_m)}{[\exp(\frac{10-v_m}{10})-1]} & \text{se } v_m \neq 10 \\ \alpha_n(v_m) = 0.1 & \text{se } v_m = 10 \end{cases} \quad (8) \quad \beta_n(v_m) = 0.125 \exp\left(-\frac{v_m}{80}\right) \quad (11)$$

$$\begin{cases} \alpha_m(v_m) = \frac{0.1(25-v_m)}{[\exp(\frac{25-v_m}{10})-1]} & \text{se } v_m \neq 25 \\ \alpha_m(v_m) = 1 & \text{se } v_m = 25 \end{cases} \quad (9) \quad \beta_m(v_m) = 4 \exp\left(-\frac{v_m}{18}\right) \quad (12)$$

$$\alpha_h(v_m) = 0.07 \exp\left(-\frac{v_m}{20}\right) \quad (10) \quad \beta_h(v_m) = \frac{1}{[\exp(\frac{30-v_m}{10}) + 1]} \quad (13)$$

O modelo de Hodgkin-Huxley reconhece a existência de outras correntes iónicas, definindo por isso ainda um terceira corrente iónica, a *leakage current*:

$$I_L(t, v_m) = g_L(t, v_m) [V_m(t) - E_L] \quad (14)$$

Onde  $g_L$  e  $E_L$  são os análogos das equações 1 e 2, sendo ajustados de forma a se obter os resultados observados para  $V_m$  durante o repouso.

A evolução temporal de  $V_m$  através do modelo de Hodgkin-Huxley é obtida considerando que corrente membranar  $I_m$  é dada por:

$$I_m = I_s = I_K + I_{Na} + I_L + I_C \quad (15)$$

Onde  $I_s$  é a corrente de estimulação injetada no meio intracelular e  $I_C$  a corrente devido às características capacitivas da membrana. Reescrevendo  $I_{ion} = I_K + I_{Na} + I_L$ , em que  $I_{ion}$  é a corrente iônica, e  $I_C = C_m \frac{dV_m}{dt}$ , onde  $C_m$  é a capacitância da membrana, vem:

$$\frac{dV_m}{dt} = \frac{I_s - I_{ion}}{C_m} = \frac{I_C}{C_m} \quad (16)$$

No entanto o modelo de Hodgkin-Huxley não permite descrever a evolução espacial de um potencial de ação. Tal é possível com o modelo do núcleo condutor, cujas equações do cabo resultam da aplicação das leis de Kirchhoff e de Ohm. Neste modelo a membrana é modelada através de, por exemplo, o modelo de Hodgkin-Huxley, e os meios intracelular e extracelular pelas suas resistências por unidade de comprimento,  $r_i$  e  $r_e$  respectivamente. Vem então que a correntes axial intracelular e transmembranar são dadas respectivamente por:

$$I_i = -\frac{1}{r_i + r_e} \frac{\partial V_m}{\partial x} \quad (17)$$

$$I_m = \frac{1}{2\pi a (r_i + r_e)} \left[ \frac{\partial^2 V_m}{\partial x^2} - r_e i_p \right] + I_s \quad (18)$$

Onde  $a$  é o raio da fibra e  $i_p = 2\pi a I_p$  é a corrente de estimulação injetada no meio extracelular.

Numa primeira parte foi implementada as equações de Hodgkin-Huxley para simular uma experiência *space clamped*, e numa segunda parte foram implementadas as equações do cabo para simular a propagação temporal e espacial de um potencial de ação. O relatório apresenta de forma separada os métodos e resultados obtidos para as duas partes do trabalho, mas a discussão está conjunta.

## 2 Materiais e Métodos

### 2.1 Materiais

Para a implementação deste projecto foi utilizado o software **Matlab v2013a**, e o código desenvolvido encontra-se no anexo 5.2.

### 2.2 Métodos

#### 2.2.1 Parte 1 - Modelo Hodgkin-Huxley

Para a primeira parte foi utilizado o seguinte procedimento que está implementado no script *main\_1.m* (anexo 5.2):

- Com base nas equações 8 - 13 foi criada a função *HHrates.m*, anexo 5.2, que calcula estas taxas dado o valor de  $v_m$  e tendo em conta as singularidades das equações 8 e 9.
- O código pede ao utilizador a intensidade da corrente de estímulo  $I_s$  (em  $\mu A/cm^2$ ), a sua duração e o seu instante inicial, bem como a duração da simulação numérica (mínimo de  $30 ms$ ). A evolução temporal do potencial de membrana foi obtida pela implementação das equações 1 - 16. As discretizações das equações 5, 6, 7 e 16 foram obtidas através do método de Euler:

$$\Delta n = \Delta t [\alpha_n(1 - n) - \beta_n n] \quad (19)$$

$$\Delta m = \Delta t [\alpha_m(1 - m) - \beta_m m] \quad (20)$$

$$\Delta h = \Delta t [\alpha_h(1 - h) - \beta_h h] \quad (21)$$

$$\Delta V_m = \Delta t \frac{I_C}{C_m} \quad (22)$$

A ordem de implementação foi primeiro o cálculo das condutâncias específicas (equações 3 e 4), seguido do cálculo das correntes (equações 1, 2, 14 e 15), das taxas  $\alpha$  e  $\beta$  (equações 8 - 13), dos incrementos (equações 19 - 22), e por fim a atualização das variáveis de estado:

$$n^{i+1} = n^i + \Delta n \quad (23)$$

$$m^{i+1} = m^i + \Delta m \quad (24)$$

$$h^{i+1} = h^i + \Delta h \quad (25)$$

$$V_m^{i+1} = V_m^i + \Delta V_m \quad (26)$$

Estes passos estão implementados na função *HHmodel.m*. Os valores iniciais usados para as variáveis de estado encontram-se no anexo 5.1.

- São produzidos os gráficos de  $I_m$ ,  $V_m$ ,  $n$ ,  $m$ ,  $h$ ,  $g_{Na}$ ,  $g_K$ ,  $I_{Na}$ ,  $I_K$ ,  $I_L$ ,  $I_{ion}$  e  $I_C$  em função do tempo através do script *graphics.m*.
- Para calcular o valor da intensidade limiar de geração de potenciais de ação para um tempo de estimulação de  $1 ms$  e com um  $\Delta t = 50 \mu s$ , foi usado o método da bissecção e a função *HHmodel.m*. O critério para definir a existência de um potencial de ação foi o potencial membranal reduzido subir acima do *threshold*  $v_m > 30 mV$  [1]. Caso o intervalo inicial definido para o método da bissecção não incluísse um potencial de ação, então o intervalo era expandido até incluir um.
- Foi realizada a demonstração do efeito *anode break excitation*. Para tal foi usada a função *HHmodel.m* e aplicado um estímulo de  $-5 \mu A/cm^2$  durante os primeiros  $30 ms$  de forma a que as variáveis atingissem um estado estacionário, numa simulação com uma duração de  $60 ms$ . Foram ainda obtidos os mesmos gráficos que no ponto c) com o script *graphics.m*.

### 2.2.2 Parte 2 - Equações do cabo

Para a segunda parte foi utilizado o seguinte procedimento que está implementado no script *main\_2.m* (anexo 5.2):

- a) Para realizar a discretização espacial e temporal foram escolhidos os valores  $\Delta x = 0.05 \text{ cm}$  e  $\Delta t = 2 \mu s$ . Com base nestes valores e nas constantes do anexo 5.2 foi calculada a *mesh ratio*:

$$Mesh\ ratio = \frac{\Delta t}{r_i c_m \Delta x^2} = \frac{a \Delta t}{2 R_i C_m \Delta x^2} \quad (27)$$

Onde  $c_m$  é a capacitância da membrana por unidade de comprimento ( $c_m = 2\pi a C_m$ ) e  $R_i$  é a resistividade ( $R_i = \pi a^2 r_i$ ). A *mesh ratio* é um indicador importante para a estabilidade numérica do algoritmo, em que deve *mesh ratio*  $\ll 1$ .

- b) Para obter o limiar da corrente de estimulação  $i_p$  foram inicialmente implementadas as equações do cabo de forma a simular a propagação temporal e espacial de um potencial de ação. A discretização das equações 17 e 18 foram feitas usando o método de Euler:

$$I_i^{i,j} = -\frac{1}{r_i + r_e} \frac{V_m^{i,j+1} - V_m^{i,j}}{\Delta x} \quad (28)$$

$$I_m^{i,j} = \frac{1}{2\pi a (r_i + r_e)} \left[ \frac{V_m^{i,j+1} - 2V_m^{i,j} + V_m^{i,j-1}}{\Delta x^2} - r_e i_p^{i,j} \right] + I_s^{i,j} \quad (29)$$

Onde os índices  $i$  e  $j$  representam os instantes temporal e espacial, respetivamente. Foram utilizadas *sealed boundary conditions* na sua implementação na função *equacao\_cabo.m* (anexos 5.2). O critério utilizado para definir a existência de um potencial de ação foi o mesmo que na primeira parte, na alínea d) dos métodos 2.2.1, assim como também foi implementado o método da bissecção da mesma forma.

- c) Foi simulado um potencial de ação aplicando uma corrente  $i_p = -2 \text{ mA/cm}$  no primeiro nodo e  $i_p = 2 \text{ mA/cm}$  no último nodo durante  $100 \mu s$ , numa simulação com uma duração total de  $20 \text{ ms}$ , em que se considerou  $I_s = 0$ . Foram feitos os gráficos do potencial de membrana, das correntes de sódio, de potássio, transmembranar e axial intracelular em função da posição para o instante  $t = 10 \text{ ms}$  através da função *graphics\_2.m*.
- d) Com os resultados obtidos na alínea c) foram feitos os gráficos das mesmas quantidades com a função *graphics\_2.m*, mas desta vez em função do tempo para o nodo 300.
- e) Analisou-se a influência do raio da fibra na velocidade de propagação de um potencial de ação. Para tal foram testados raios no intervalo  $[3, 300] \mu m$ , e era aplicada uma corrente de estimulação  $I_p = \frac{i_p}{2\pi a} = -\frac{1}{0.03 \times \pi} \text{ mA/cm}^2$  no primeiro nodo e o simétrico no último, durante os primeiros  $100 \mu s$ . Foi usado  $\Delta t = 2 \mu s$  constante enquanto que  $\Delta x$  era adaptado de forma a que a *mesh ratio* usada tivesse sempre o valor de 0.4 para todos os raios. A duração da estimulação foi de  $20 \text{ ms}$  para cada caso. Para calcular a velocidade foi registado o instante do máximo do potencial para cada nodo, e no fim foi calculado o declive entre o vetor das posições e o dos instantes de tempo correspondentes aos máximos do potencial através de uma regressão linear.

### 3 Resultados

#### 3.1 Parte 1 - Modelo Hodgkin-Huxley

Na primeira parte do trabalho, na simulação duma experiência *space-clamped*, a membrana foi estimulada assumindo sempre que a corrente de estímulo  $I_s$  é uniforme no segmento considerado da membrana, usando sempre  $\Delta t = 50 \text{ ms}$ . Os valores iniciais usados para as diferentes variáveis de estado encontram-se no anexo 5.1.

No início a membrana foi estimulada com uma corrente cujas características foram definidas pelo utilizador. Os valores obtidos através da simulação para as correntes, o potencial de membrana, as condutâncias específicas e as probabilidades das subunidades estarem abertas encontram-se na figura 1.

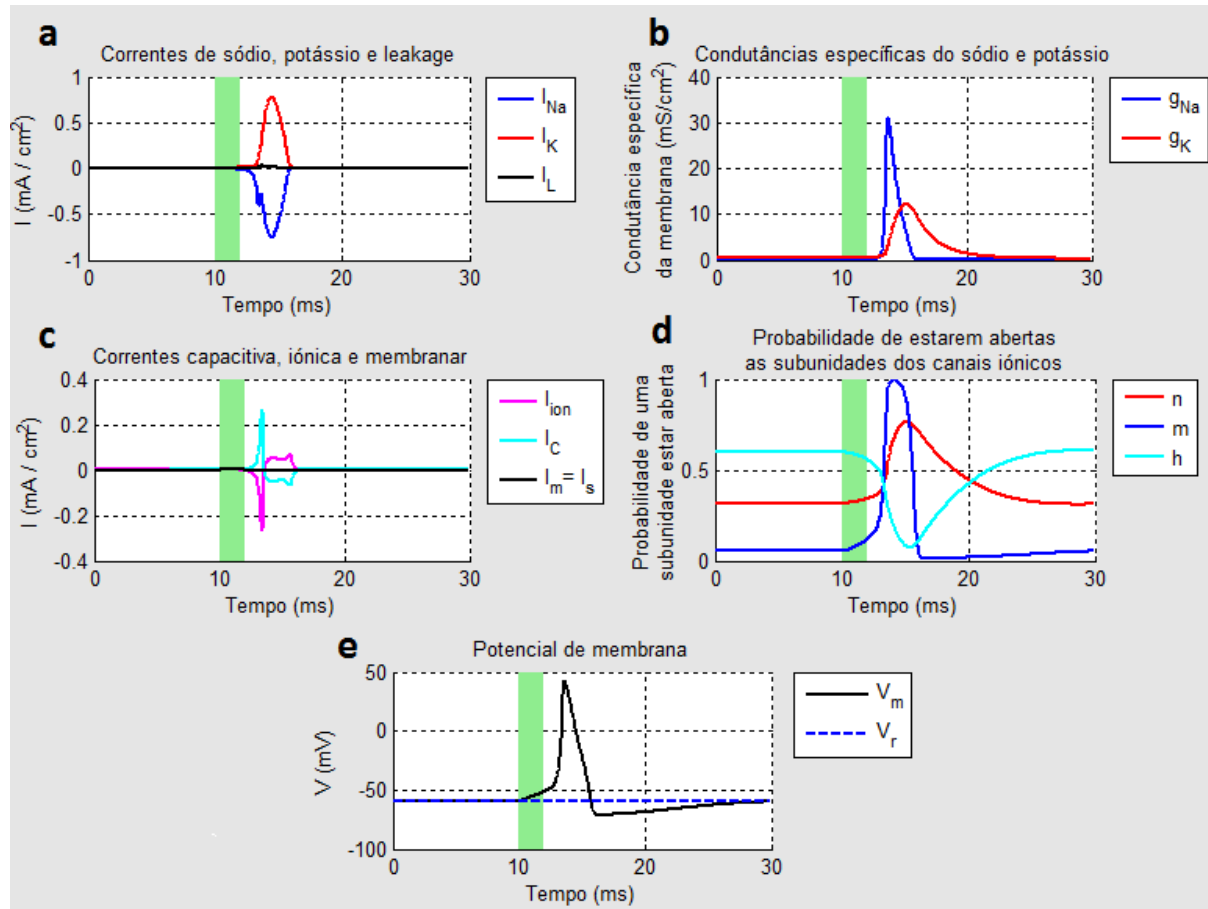


Figura 1: Simulação da estimulação da membrana com uma corrente  $I_s = 5 \mu\text{A}/\text{cm}^2$  durante  $2 \text{ ms}$ , com início no instante  $t = 10 \text{ ms}$  - zonas a verde correspondem ao período de estimulação. A duração da simulação foi de  $30 \text{ ms}$ . a) Correntes ( $\text{mA}/\text{cm}^2$ ) de sódio, potássio e *leakage*. b) Condutâncias específicas ( $\text{mS}/\text{cm}^2$ ) da membrana para o sódio e potássio. c) Correntes ( $\text{mA}/\text{cm}^2$ ) capacitiva, iónica e membranar. d) Probabilidades de as subunidades  $n$ ,  $m$  e  $h$  estarem abertas. e) Potencial de membrana e de repouso ( $\text{mV}$ ).

Posteriormente, para se calcular a intensidade limiar de geração de potenciais de ação para uma estimulação com uma duração de  $1 \text{ ms}$  foi usado o procedimento descrito nos métodos 2.2.1, na alínea d). Mais uma vez, nas simulações foi usado um passo de tempo  $\Delta t = 50 \mu\text{s}$ . O valor então obtido para o limiar de estimulação foi  $7.092 \pm 0.001 \mu\text{A}/\text{cm}^2$ .

Foi demonstrado o efeito *anode break excitation* através da descrição feita nos métodos 2.2.1, na alínea e). Os resultados obtidos para as correntes, o potencial de membrana, as condutâncias



específicas e as probabilidades das subunidades estarem abertas encontram-se na figura 2.

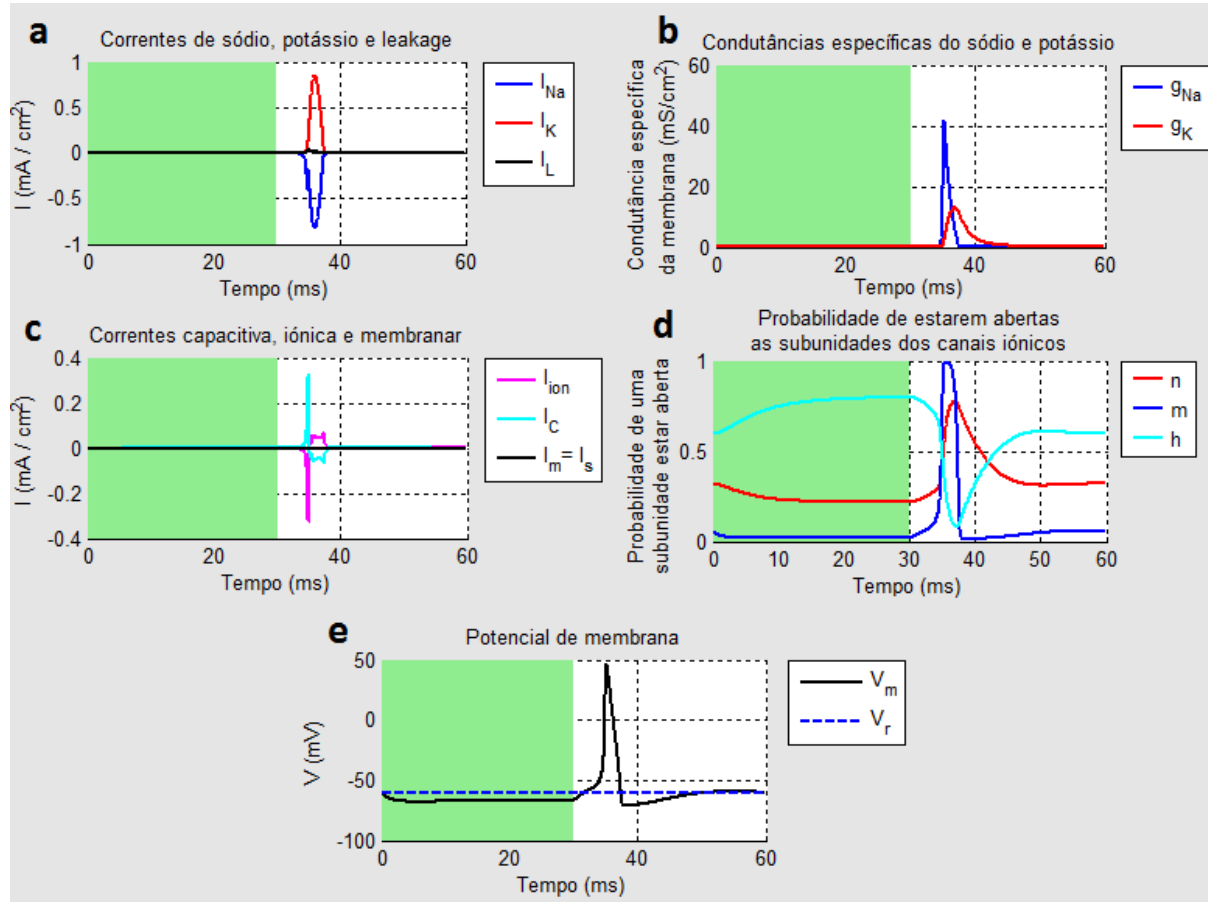


Figura 2: Estimulação da membrana com uma corrente  $I_s = -5 \mu\text{A}/\text{cm}^2$  durante os primeiros 30 ms - zonas a verde correspondem ao período de estimulação. A duração da simulação foi de 60 ms. a) Correntes ( $\text{mA}/\text{cm}^2$ ) de sódio, potássio e leakage. b) Condutâncias específicas ( $\text{mS}/\text{cm}^2$ ) da membrana para o sódio e potássio. c) Correntes ( $\text{mA}/\text{cm}^2$ ) capacitiva, iônica e membrana. d) Probabilidades de as subunidades  $n$ ,  $m$  e  $h$  estarem abertas. e) Potencial de membrana e de repouso (mV).

### 3.2 Parte 2 - Equações do cabo

Na segunda parte do trabalho foi primeiro calculado a *mesh ratio* para  $\Delta x = 0.05 \text{ cm}$  e  $\Delta t = 2 \mu\text{s}$ , numa fibra com raio  $a = 300 \mu\text{m}$ . O valor obtido para a *mesh ratio* foi 0.4.

Para se calcular o limiar da corrente de estimulação  $i_p$  para uma estimulação com uma duração de  $100 \mu\text{s}$  foi usado o procedimento descrito nos métodos 2.2.2, na alínea b). Além disso nas simulações foram usadas as discretizações espaciais e temporais acima referidas. O valor então obtido para o limiar da corrente de estimulação foi  $-1.371 \pm 0.001 \text{ mA}/\text{cm}$ .

Posteriormente a membrana foi estimulada de acordo com a descrição nos métodos 2.2.2, na alínea c). Foram produzidos os gráficos do potencial de membrana, correntes de potássio, sódio, transmembrana e axial intracelular, tudo em função da posição para o instante  $t = 10 \text{ ms}$ . Os resultados encontram-se na figura 3.

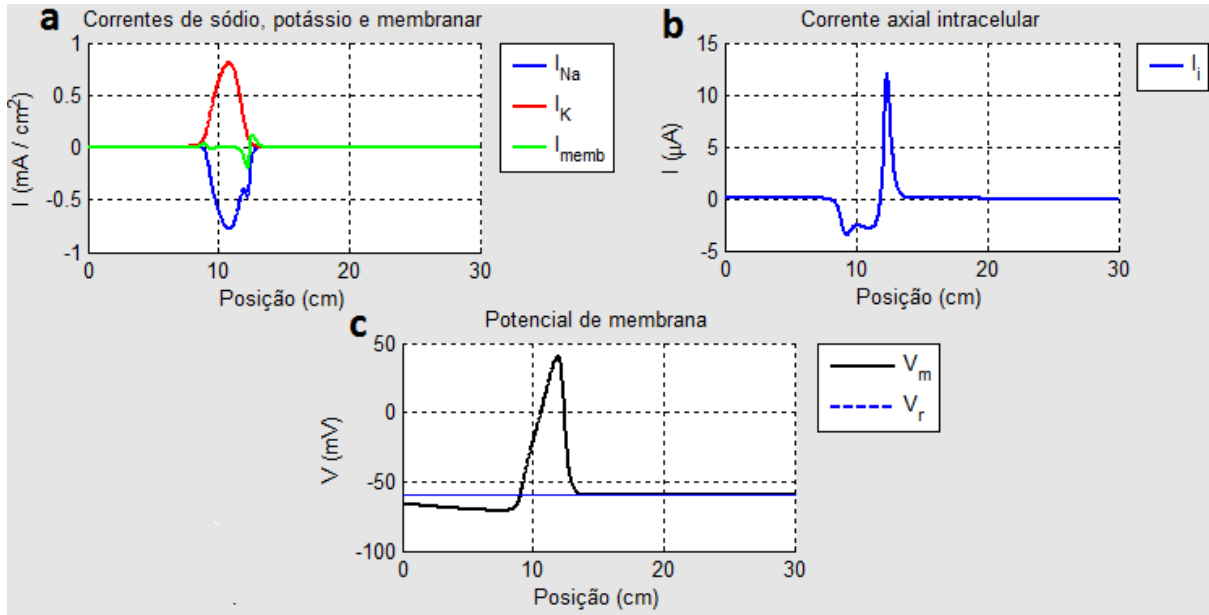


Figura 3: Simulação das correntes de potássio, sódio, transmembranar (a) e axial intracelular (b), e do potencial de membrana (c), todas para o instante  $t = 10\text{ ms}$ , numa simulação de duração  $20\text{ ms}$ . Foi usado  $\Delta x = 0.05\text{ cm}$ ,  $\Delta t = 2\mu\text{s}$  e aplicada uma corrente  $i_p = -2\text{ mA}/\text{cm}$  no primeiro nodo e o simétrico no último, durante  $100\mu\text{s}$ .

Foram também produzidos os gráficos do potencial de membrana, correntes de potássio, sódio e axial intracelular em função do tempo para o nodo 300. Os resultados encontram-se na figura 4.

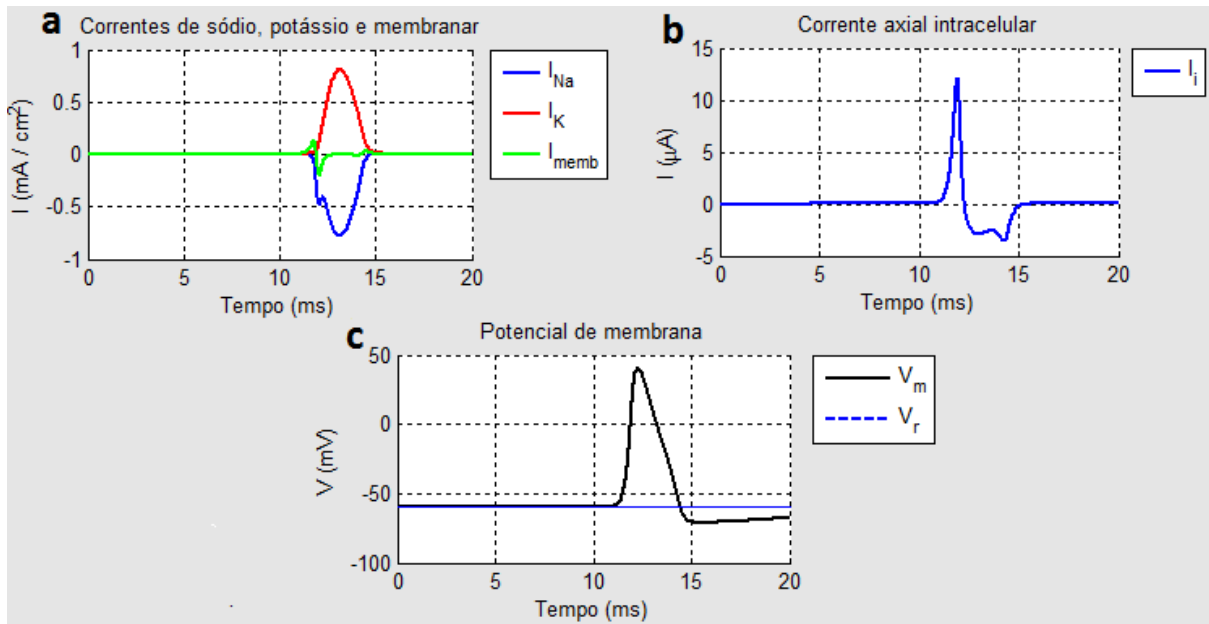


Figura 4: Simulação das correntes de potássio, sódio, transmembranar (a) e axial intracelular (b), e do potencial de membrana (c), todas para o nodo 300, numa simulação de duração  $20\text{ ms}$ . Foi usado  $\Delta x = 0.05\text{ cm}$ ,  $\Delta t = 2\mu\text{s}$  e aplicada uma corrente  $i_p = -2\text{ mA}/\text{cm}$  no primeiro nodo e o simétrico no último, durante  $100\mu\text{s}$ .

Por fim foi analisada a influência do raio da fibra na velocidade de propagação do potencial de ação de acordo com o procedimento nos métodos 2.2.2, na alínea e). Os resultados obtidos

encontram-se na figura 5.

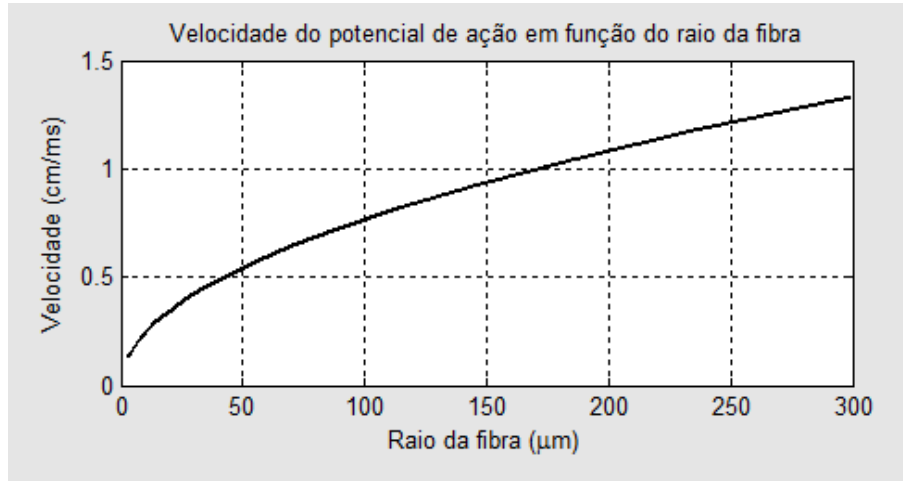


Figura 5: Velocidade de propagação do potencial de ação ( $cm/ms$ ) em função do raio da fibra ( $\mu m$ ). Foi aplicada uma corrente de estimulação  $I_p = -\frac{1}{0.03 \times \pi} mA/cm^2$  no primeiro nodo e o seu simétrico no último nodo, durante um período de  $100 \mu s$ . O valor de  $\Delta t = 2 \mu s$  usado foi constante, bem como o da  $mesh\ ratio = 0.4$ , sendo adaptado o valor de  $\Delta x$ . A duração de cada simulação foi  $20 ms$ . Simularam-se 20 valores de raio entre  $3 \mu m$  e  $300 \mu m$ , inclusive, espaçados de forma logarítmica.

## 4 Discussão

Pela análise dos gráficos representados na figura 1, verifica-se pela análise de a) a deslocação do ião sódio do meio extracelular para o meio intracelular, visto a sua corrente assumir valores negativos. Quanto ao ião potássio, a sua corrente é positiva, mostrando assim a deslocação deste ião do meio intracelular para o extracelular. Além disto, verifica-se que os picos das correntes de sódio e potássio coincidem com os picos das respectivas condutâncias - gráfico b). Quanto à figura b) observa-se que os picos das condutâncias para além de estarem relacionados com as respectivas correntes, estão relacionados com as probabilidades das suas subunidades estarem abertas, sendo mais notório para o potássio, dado só depender de  $n$ . Pelo gráfico c) pode-se verificar que as correntes capacitiva e iónica são simétricas, à exceção da secção em que  $I_m \neq 0$ , tal como esperado. Verifica-se também que as oscilações de  $I_C$  estão associadas às variações de  $V_m$  - gráfico e) - tal como esperado. No gráfico d) observa-se que as probabilidades das subunidades de  $n$  e  $m$  estarem abertas aumentam no início do potencial de ação, confirmando o seu papel de parâmetros de ativação na ocorrência de um potencial de ação. Por sua vez, a probabilidade da subunidade  $h$  estar aberta diminui durante a ocorrência do potencial de ação, confirmando também o seu papel de parâmetro de inativação. Por fim, pela análise do gráfico e) verifica-se a ocorrência de um potencial de ação através de uma despolarização inicial da membrana até  $V_m \approx 40 \text{ mV}$ , seguido da relaxação deste, ocorrendo por fim uma hiperpolarização da mesma.

Na figura 2 observa-se por sua vez um potencial de ação resultante do *anode break excitation*. Por comparação com os respetivos gráficos da figura 1 verifica-se que estes são semelhantes, com a exceção do gráfico d) e com o facto de  $V_m$  hiperpolarizar no início, durante a estimulação, antes de se iniciar o potencial de ação. Relativamente ao gráfico d) observa-se neste caso que a probabilidade da subunidade  $h$  estar aberta aumenta consideravelmente devido ao estímulo, e que as probabilidades das subunidades  $n$  e  $m$  estarem abertas diminuem, mas baixam pouco comparativamente com a variação de  $h$ . Tal leva a que, antes do estímulo cessar, mais canais de potássio estejam abertos, e consequentemente a condutância específica e corrente do potássio também são maiores. Assim o fluxo de iões potássio é maior e a membrana inicialmente despolariza mais rápido, dado a corrente de potássio ser negativa, o que leva à ocorrência do potencial de ação - efeito *anode break*.

Pela análise do gráfico c) da figura 3 verifica-se que o potencial está hiperpolarizado nas regiões mais perto do primeiro nodo. A hiperpolarização confirma que nessa zona da membrana já ocorreu um potencial de ação, enquanto o potencial de membrana está a despolarizar do lado direito, indicando que o potencial de ação se está a deslocar para a direita, tal como esperado. No gráfico b) constata-se que a corrente axial intracelular é proporcional ao simétrico da primeira derivada do potencial de membrana, tal como esperado, dada a equação 17. Pela análise do gráfico a) constata-se que as correntes de potássio e sódio são semelhantes às já vistas para o caso das experiências *space-clamped* da primeira parte, enquanto a corrente transmembranar está relacionada com a segunda derivada do  $V_m$ .

Na figura 4, no gráfico c) verifica-se que o potencial de membrana está despolarizado do lado esquerdo do seu pico e hiperpolarizado do lado direito. Estes resultados são esperados, pois após o pico a membrana num determinado nodo começa a repolarizar com o tempo e consequentemente hiperpolariza. Já antes do pico a membrana ainda está a despolarizar, daí este perfil do potencial de membrana, que é semelhante aos das experiências *space-clamped* da primeira parte. Assim os resultados observados nos gráficos a) e b) são o simétrico do observado na figura 3, verificando-se as mesmas relações constatadas anteriormente.

Da análise da influência do raio da fibra na velocidade de propagação do potencial de ação, constata-se pela figura 5 que a velocidade é tanto maior quanto maior o raio da fibra, tal como esperado. Além disso, a variação aparenta ser diretamente proporcional à raiz quadrada do raio da fibra, tal como reportado na literatura [1].

## Referências

- [1] Robert Plonsey & Roger C. Barr, *Bioelectricity: A Quantitative Approach*; Springer 3ª edição (2007). ISBN-10:0387488642



## 5 Anexos

### 5.1 Anexo I

Nome	Unidades	Descrição
I.Na	$mA/cm^2$	Campo com o vetor dos valores da corrente de sódio
I.K	$mA/cm^2$	Campo com o vetor dos valores da corrente de potássio
I.L	$mA/cm^2$	Campo com o vetor dos valores da corrente de <i>leakage</i>
I.ion	$mA/cm^2$	Campo com o vetor dos valores da corrente iônica
I.membr	$mA/cm^2$	Campo com o vetor dos valores da corrente membranar
I.C	$mA/cm^2$	Campo com o vetor dos valores da corrente capacitiva
I.s	$mA/cm^2$	Campo com o vetor dos valores da corrente de estimulação
I.i	$mA/cm^2$	Campo com o vetor dos valores da corrente axial intracelular
ip	$mA/cm^2$	Vetor com a corrente de estimulação
Amp_Is	$mA/cm^2$	Amplitude da corrente de estimulação $I_s$
Amp_ip	$mA/cm^2$	Amplitude da corrente de estimulação $i_p$
Vm	$mV$	Vector com o potencial membranar
Vr	$mV$	Valor do potencial de repouso
vm	$mV$	Valor do potencial membranar reduzido
E.K	$mV$	Campo com o potencial de Nernst do potássio
E.Na	$mV$	Campo com o potencial de Nernst do sódio
E.L	$mV$	Campo com o potencial de Nernst associado ao <i>leakage</i>
nmh.n		Probabilidade da subunidade $n$ estar aberta
nnmh.n(1)		0.31768 (Valor inicial)
nmh.m		Probabilidade da subunidade $m$ estar aberta
nmh.m(1)		0.05293 (Valor inicial)
nmh.h		Probabilidade da subunidade $h$ estar aberta
nmh.h(1)		0.59612 (Valor inicial)
g.Na	$mS/cm^2$	Campo com a condutância específica do sódio
g.Na(1)	$mS/cm^2$	0.011 (Valor inicial)
g.K	$mS/cm^2$	Campo com a condutância específica do sódio
g.K(1)	$mS/cm^2$	0.367 (Valor inicial)
g.L	$mS/cm^2$	Campo com a condutância específica do <i>leakage</i> (=0.3)
g_max.Na	$mS/cm^2$	Campo com a condutância máx. espec. da memb. para o $Na$
g_max.K	$mS/cm^2$	Campo com a condutância máx. espec. da memb. para o $K$
dx	$cm$	Espaçamento (discretização espacial)
dt	$ms$	Passo de tempo (discretização temporal)
tmax	$ms$	Tempo total de simulação
t_i	$ms$	Tempo inicial da estimulação
t_estimulacao	$ms$	Tempo total de estimulação
Cm	$\mu F/cm^2$	Capacidade específica da membrana
a	$cm$	Raio da fibra
a_min	$cm$	Raio mínimo das fibras simuladas
a_max	$cm$	Raio máximo das fibras simuladas
mesh_ratio		Mesh ratio
Ri	$\Omega \cdot cm$	Resistividade do meio intracelular
Re	$\Omega \cdot cm$	Resistividade do meio extracelular
ri	$\Omega/cm$	Resistência intracelular por unidade de comprimento
re	$\Omega/cm$	Resistência extracelular por unidade de comprimento
alpha	$ms^{-1}$	Vetor com as taxas $\alpha$ : $[\alpha_n, \alpha_m, \alpha_h]$
beta	$ms^{-1}$	Vetor com as taxas $\beta$ : $[\beta_n, \beta_m, \beta_h]$
N		Número de nodos

## 5.2 Anexo II

Script *main\_1.m*

```

1  %%%%%%%%%%%%%%%%%%%%%%%%%%%%%%%%%%%%%%%%%%%%%%%%%%%%%%%%%%%%%%%%%%%%%%%%%%%%%%%
2  %                                TRABALHO PRATICO – 1 PARTE                                %
3  %%%%%%%%%%%%%%%%%%%%%%%%%%%%%%%%%%%%%%%%%%%%%%%%%%%%%%%%%%%%%%%%%%%%%%%%%%%%%%%
4  %  Simulacao de uma experiencia voltage clamp, em que e aplicado um                %
5  %  estimulo com caracteristicas definidas pelo utilizador (alinea c).           %
6  %  Determinacao da intensidade do limiar de estimulacao de um potencial          %
7  %  de accao atraves do criterio  $vm > 30mV$  para um potencial de accao,      %
8  %  onde  $vm$  e o potencial reduzido da membrana. Justificacao do criterio %
9  %  junto a alinea d). Aplicacao de um estemulo para demonstrar o efeito %
10 %  anode break (alinea e.i)                                                    %
11 %%%%%%%%%%%%%%%%%%%%%%%%%%%%%%%%%%%%%%%%%%%%%%%%%%%%%%%%%%%%%%%%%%%%%%%%%%%%%%%
12
13 % limpa o workspace; fecha handles abertos; limpa a consola;
14 clear; close all; clc;
15
16
17 %%%%%%%%%%%%%%%%%%%%%%%%%%%%%%%%%%%%%%%%%%%%%%%%%%%%%%%%%%%%%%%%%%%%%%%%%%%%%%%
18 %                                CONSTANTES                                %
19 %%%%%%%%%%%%%%%%%%%%%%%%%%%%%%%%%%%%%%%%%%%%%%%%%%%%%%%%%%%%%%%%%%%%%%%%%%%%%%%
20
21 Vr=-60; % potencial de repouso (mV)
22 E.K=-72.1; % potencial de Nernst do potassio (mV)
23 E.Na=52.4; % potencial de Nernst do sodio (mV)
24 E.L=-49.187; % potencial de Nernst associado ao leakage (mV)
25
26 Cm=1; % capacidade especifica da membrana ( $\mu F/cm^2$ )
27
28 g_max.Na=120; % condutancia max. espec. da membrana para o sodio ( $mS/cm^2$ )
29 g_max.K=36; % condutancia max. espec. da membrana para o potassio ( $mS/cm^2$ )
30 g.L=0.3; % condutancia espec. da membrana associada ao leakage ( $mS/cm^2$ )
31
32 %%
33
34 %%%%%%%%%%%%%%%%%%%%%%%%%%%%%%%%%%%%%%%%%%%%%%%%%%%%%%%%%%%%%%%%%%%%%%%%%%%%%%%
35 %                                SIMULACOES                                %
36 %%%%%%%%%%%%%%%%%%%%%%%%%%%%%%%%%%%%%%%%%%%%%%%%%%%%%%%%%%%%%%%%%%%%%%%%%%%%%%%
37
38 %%%%%%%%%%%%%%%%%%%%%%%%%%%%%%%%%%%%%%%%%%%%%%%%%%%%%%%%%%%%%%%%%%%%%%%%%%%%%%%
39 %                                ALINEA C)                                %
40 %%%%%%%%%%%%%%%%%%%%%%%%%%%%%%%%%%%%%%%%%%%%%%%%%%%%%%%%%%%%%%%%%%%%%%%%%%%%%%%
41
42 %%%%%%%%%%%%%%%%%%%%%%%%%%%%%%%%%%%%%%%%%%%%%%%%%%%%%%%%%%%%%%%%%%%%%%%%%%%%%%%
43 %                                PARAMETROS DO UTILIZADOR                                %
44 %%%%%%%%%%%%%%%%%%%%%%%%%%%%%%%%%%%%%%%%%%%%%%%%%%%%%%%%%%%%%%%%%%%%%%%%%%%%%%%
45
46 % pede ao utilizador o passo temporal (us), a duracao da estimulacao (ms),
47 % a intensidade da estimulacao ( $\mu A/cm^2$ ), o instante inicial da estimulacao
48 % (ms) e a duracao da estimulacao (ms)
49 prompt={'Passo temporal \Deltat (\mus)',...
50         'Duracao da simulacao (ms) [ minimo 30 ms ]',...
51         [' ','I_{estimulacao} (\muA / cm^2)'],...
52         'Instante inicial da estimulacao (ms)', 'Duracao da estimulacao (ms)'};
53 name = 'Input';
54 defaultans = {' ','30',' ',' ',' '};
55 options.Interpreter = 'tex';
56 user_input = inputdlg(prompt,name,[1 50;1 50;1 50;1 50;1 50],defaultans,...
57 options);
58
59 dt=str2num(user_input{1}); % passo de tempo (us)
60 dt=dt/10^3; % passo de tempo (ms)

```



```

61 tmax=str2num(user_input{2}); % tempo total da simulacao (ms)
62 if tmax<30
63     tmax=30; % se o utilizador introduzir um tempo de simulacao inferior a
64     % 30ms este e alterado para 30ms
65     w=warndlg({'Tempo maximo de simulacao inferior ao minimo de 30 ms',...
66     'Tempo maximo de simulacao assumido como 30 ms'}, 'Warning');
67     uiwait(w); clear w;
68 end
69 n_iter=tmax/dt; % numero de iteracoes realizadas na simulacao
70
71 Amp_Is=str2num(user_input{3});
72 Amp_Is=Amp_Is/1e3; % intensidade do estimulo em mA/cm^2
73
74 t_i=str2num(user_input{4}); % instante inicial da estimulacao (ms)
75 t_i=round(t_i/dt)*dt; % instante inicial da estimulacao em funcao de dt
76 t_estimulacao=str2num(user_input{5}); % duracao da estimulacao (ms)
77 t_estimulacao=round(t_estimulacao/dt)*dt; % duracao da estimulacao em
78 % funcao de dt
79 dialog_box_tempos(t_i,t_estimulacao); % informa o utilizador dos instantes
80 % em funcao de dt
81
82 Is = stimulus_current(dt,t_i,t_estimulacao,Amp_Is,n_iter); % cria o vector
83 % com a corrente de estimulacao (mA/cm^2) com os parametros dados pelo
84 % utilizador
85
86 %%%%%%%%%%%%%%%%%%%%%%%%%%%%%%%%%%%%%%%%%%%%%%%%%%%%%%%%%%%%%%%%%%%%%%%%%%
87 %      INICIALIZACAO DE VARIAVEIS      %
88 %%%%%%%%%%%%%%%%%%%%%%%%%%%%%%%%%%%%%%%%%%%%%%%%%%%%%%%%%%%%%%%%%%%%%%%%%%
89
90 t=0:dt:tmax-dt; % vector do tempo da simulacao (ms)
91
92 nmh.n=zeros(1,n_iter); % vector para a probabilidade de estar aberta uma
93 % subunidade n
94 nmh.n(1)=0.31768; % probabilidade de estar aberta uma subunidade n em t=0
95 nmh.m=zeros(1,n_iter); % vector para a probabilidade de estar aberta uma
96 % subunidade m
97 nmh.m(1)=0.05293; % probabilidade de estar aberta uma subunidade m em t=0
98 nmh.h=zeros(1,n_iter); % vector para a probabilidade de estar aberta uma
99 % subunidade h
100 nmh.h(1)=0.59612; % probabilidade de estar aberta uma subunidade h em t=0
101
102 g.Na=zeros(1,n_iter); % vector para a condutancia especifica da membrana
103 % para o sodio
104 g.Na(1)=0.011; % condutancia especifica da membrana para o sodio em t=0
105 g.K=zeros(1,n_iter); % vector para a condutancia especifica da membrana
106 % para o potassio
107 g.K(1)=0.367; % condutancia especifica da membrana para o potassio em t=0
108
109 Vm=zeros(1,n_iter); % vector para o potencial de membrana
110 Vm(1)=Vr; % potencial de membrana em t=0
111
112 %%%%%%%%%%%%%%%%%%%%%%%%%%%%%%%%%%%%%%%%%%%%%%%%%%%%%%%%%%%%%%%%%%%%%%%%%%
113 %      SIMULACAO      %
114 %%%%%%%%%%%%%%%%%%%%%%%%%%%%%%%%%%%%%%%%%%%%%%%%%%%%%%%%%%%%%%%%%%%%%%%%%%
115
116 % simula as correntes, condutancias, potencial de membrana e probabilidades
117 % de abertura das subunidades dos canais durante o periodo de simulacao
118 % definido pelo utilizador
119 [I,nmh,Vm,g]=HHmodel(n_iter,dt,Cm,Is,Vm,Vr,E,g,g_max,nmh);
120
121 % cria graficos das correntes, condutancias, potencial de membrana e
122 % probabilidades de abertura das subunidades dos canais em funcao do tempo
123 run_graphics.m

```

```

124
125 %%
126
127 %%%%%%%%%%%%%%%%%%%%%%%%%%%%%%%%%%%%%%%%%%%%%%%%%%%%%%%%%%%%%%%%%%%%%%%%%%
128 %                               ALINEA D)                               %
129 %%%%%%%%%%%%%%%%%%%%%%%%%%%%%%%%%%%%%%%%%%%%%%%%%%%%%%%%%%%%%%%%%%%%%%%%%%
130
131 %%%%%%%%%%%%%%%%%%%%%%%%%%%%%%%%%%%%%%%%%%%%%%%%%%%%%%%%%%%%%%%%%%%%%%%%%%
132 %   PARAMETROS DO UTILIZADOR   %
133 %%%%%%%%%%%%%%%%%%%%%%%%%%%%%%%%%%%%%%%%%%%%%%%%%%%%%%%%%%%%%%%%%%%%%%%%%%
134
135 % pede ao utilizador a precisao (nA/cm^2) para o calculo da intensidade
136 % limiar
137 prompt={'Precisao para a intensidade limiar (nA / cm^2)'};
138 name = 'Input';
139 defaultans = {' '};
140 options.Interpreter = 'tex';
141 user_input = inputdlg(prompt,name,[1 50],defaultans,options);
142 precisao=str2num(user_input{1});
143 precisao=precisao/10^6; % a constante 10^6 garante que fica a mesma escala
144 % da corrente Is (mA/cm^2)
145
146 %%%%%%%%%%%%%%%%%%%%%%%%%%%%%%%%%%%%%%%%%%%%%%%%%%%%%%%%%%%%%%%%%%%%%%%%%%
147 %   INICIALIZACAO DE VARIAVEIS   %
148 %%%%%%%%%%%%%%%%%%%%%%%%%%%%%%%%%%%%%%%%%%%%%%%%%%%%%%%%%%%%%%%%%%%%%%%%%%
149
150 dt=0.05; % passo de tempo (ms)
151 t_estimulacao=1; % duracao da estimulacao (ms)
152 t_i=5; % instante inicial da estimulacao (ms)
153 tmax=30; % tempo total da simulacao (ms)
154 n_iter=tmax/dt; % numero de iteracoes realizadas na simulacao
155
156 %%%%%%%%%%%%%%%%%%%%%%%%%%%%%%%%%%%%%%%%%%%%%%%%%%%%%%%%%%%%%%%%%%%%%%%%%%
157 %                               SIMULACAO                               %
158 %%%%%%%%%%%%%%%%%%%%%%%%%%%%%%%%%%%%%%%%%%%%%%%%%%%%%%%%%%%%%%%%%%%%%%%%%%
159
160 Amp_Is=[0 1]; % valores iniciais de intensidade da corrente de estimulacao
161 cond=1; % garante que o ciclo while se inicia
162
163 while(cond)
164 Is = stimulus_current(dt,t_i,t_estimulacao,Amp_Is(2),n_iter); % vector cuja
165 % intensidade do estímulo (mA/cm^2) e dada pelo max(Amp_Is)
166 [~,~,Vm,~]=HHmodel(n_iter,dt,Cm,Is,Vm,Vr,E,g,g_max,nmh); % simula os
167 % resultados com Is definido anteriormente e apenas guarda o potencial da
168 % membrana para analise
169
170 % caso em algum instante o potencial da membrana reduzido ultrapasse 30mV
171 % entao um potencial de accao ocorre
172 if any((Vm-Vr)>30)
173 % define-se uma intensidade de estímulo intermedia
174 Is = stimulus_current(dt,t_i,t_estimulacao,sum(Amp_Is)/2,n_iter);
175 % simula-se se com a intensidade de estímulo intermedia
176 [~,~,Vm,~]=HHmodel(n_iter,dt,Cm,Is,Vm,Vr,E,g,g_max,nmh);
177
178 % verifica-se se com a intensidade de estímulo intermedia ocorre algum
179 % potencial de accao
180 if any((Vm-Vr)>30)
181 % se ocorrer entao o limiar de excitabilidade encontra-se entre o
182 % valor mais baixo e o valor intermedio
183 Amp_Is(2)=sum(Amp_Is)/2;
184 else
185 % se nao ocorrer entao o limiar de excitabilidade encontra-se entre
186 % o valor intermedio e o valor mais alto

```

```

187     Amp_Is(1)=sum(Amp_Is)/2;
188     end
189     cond=(diff(Amp_Is)/2)>precisao; % avalia-se se metade do tamanho do
190     % intervalo ja e inferior a precisao desejada pelo utilizador
191 else
192     % caso nao ocorra potencial de accao com max(Amp_Is) entao esse valor e
193     % duplicado
194     Amp_Is(2)=Amp_Is(2)*2;
195 end
196 end
197 fprintf('Estimativa da intensidade limiar = %f %c %f uA/cm^2 \n',...
198         sum(Amp_Is)*1e3/2,char(177),precisao*1e3); % imprime na consola a
199 % estimativa do limiar de excitabilidade
200
201 %%
202
203     %%%%%%%%%%%%%%%%%%%%%%%%%%%%%%%%%%%%%%%%%%%%%%%%%%%%%%%%%%%%%%%%%%%%%%%%%%
204     %                               ALINEA E.i                               %
205     %%%%%%%%%%%%%%%%%%%%%%%%%%%%%%%%%%%%%%%%%%%%%%%%%%%%%%%%%%%%%%%%%%%%%%%%%%
206
207 %%%%%%%%%%%%%%%%%%%%%%%%%%%%%%%%%%%%%%%%%%%%%%%%%%%%%%%%%%%%%%%%%%%%%%%%%%
208 %   INICIALIZACAO DE VARIAVEIS   %
209 %%%%%%%%%%%%%%%%%%%%%%%%%%%%%%%%%%%%%%%%%%%%%%%%%%%%%%%%%%%%%%%%%%%%%%%%%%
210
211 dt=0.05; % passo de tempo (ms)
212 t_estimulacao=30; % duracao da estimulacao (ms)
213 t_i=0; % instante inicial da estimulacao (ms)
214 tmax=60; % tempo total da simulacao (ms)
215 n_iter=tmax/dt; % numero de iteracoes realizadas na simulacao
216 t=0:dt:tmax-dt; % vector do tempo da simulacao
217
218 nmh.n=zeros(1,n_iter); % vector para a probabilidade de estar aberta uma
219 % subunidade n
220 nmh.n(1)=0.31768; % probabilidade de estar aberta uma subunidade n em t=0
221 nmh.m=zeros(1,n_iter); % vector para a probabilidade de estar aberta uma
222 % subunidade m
223 nmh.m(1)=0.05293; % probabilidade de estar aberta uma subunidade m em t=0
224 nmh.h=zeros(1,n_iter); % vector para a probabilidade de estar aberta uma
225 % subunidade h
226 nmh.h(1)=0.59612; % probabilidade de estar aberta uma subunidade h em t=0
227
228 g.Na=zeros(1,n_iter); % vector para a condutancia especifica da membrana
229 % para o sodio
230 g.Na(1)=0.011; % condutancia especifica da membrana para o sodio em t=0
231 g.K=zeros(1,n_iter); % vector para a condutancia especifica da membrana
232 % para o potassio
233 g.K(1)=0.367; % condutancia especifica da membrana para o potassio em t=0
234
235 Vm=zeros(1,n_iter); % vector para o potencial de membrana
236 Vm(1)=Vr; % potencial de membrana em t=0
237
238 Amp_Is=-5; % intensidade do estimulo em uA/cm^2 para causa o efeito anode
239 % break
240 Amp_Is=Amp_Is/1e3; % intensidade do estimulo em mA/cm^2
241
242 %%%%%%%%%%%%%%%%%%%%%%%%%%%%%%%%%%%%%%%%%%%%%%%%%%%%%%%%%%%%%%%%%%%%%%%%%%
243 %                               SIMULACAO                               %
244 %%%%%%%%%%%%%%%%%%%%%%%%%%%%%%%%%%%%%%%%%%%%%%%%%%%%%%%%%%%%%%%%%%%%%%%%%%
245
246 % cria o vector com a corrente de estimulacao (mA/cm^2) com os parametros
247 % para demonstrar o efeito anode break
248 Is = stimulus_current(dt,t_i,t_estimulacao,Amp_Is,n_iter);
249

```

```

250 % simula as correntes, condutancias, potencial de membrana e probabilidades
251 % de abertura das subunidades dos canais com Is para o anode break
252 [I,nmh,Vm,g]=HHmodel(n_iter,dt,Cm,Is,Vm,Vr,E,g,g_max,nmh);
253
254 % cria graficos das correntes, condutancias, potencial de membrana e
255 % probabilidades de abertura das subunidades dos canais em funcao do tempo
256 run graphics.m

```

### Função *HHmodel.m*

```

1 function [I,nmh,Vm,g] = HHmodel(n_iter,dt,Cm,Is,Vm,Vr,E,g,g_max,nmh)
2 %[I,nmh,Vm,g] = HHmodel(n_iter,dt,Cm,Is,Vm,Vr,E,g,g_max,nmh)
3 % Com base no numero de iteracoes n_iter e no passo temporal dt simula a
4 % evolucao dos parametros I (mA/cm^2) (correntes de sodio I.Na, potassio
5 % I.K, capacitiva I.C, leakage I.L, ionica I.ion, estimulacao I.s e
6 % membranas I.membr), Vm (mV) (potencial de membrana), g (mS/cm^2)
7 % (condutancias do sodio g.Na e do potassio g.K) e das probabilidades n,
8 % m e h das subunidades dos subunidades dos canais ionicos estarem
9 % abertas (nmh.n, nmh.m, nmh.h)
10
11 I.membr=zeros(1,n_iter); % vector para a corrente transmembranas (mA/cm^2)
12 I.Na=zeros(1,n_iter); % vector para a corrente de sodio (mA/cm^2)
13 I.K=zeros(1,n_iter); % vector para a corrente de potassio (mA/cm^2)
14 I.L=zeros(1,n_iter); % vector para a corrente de leakage (mA/cm^2)
15 I.ion=zeros(1,n_iter); % vector para a corrente ionica (mA/cm^2)
16 I.C=zeros(1,n_iter); % vector para a corrente capacitiva (mA/cm^2)
17 I.s=Is; % (mA/cm^2)
18
19 for i=1:n_iter
20
21     if (i~=1)
22         g.Na(i)=(nmh.m(i)^3)*nmh.h(i)*g_max.Na; % condutancia especifica do
23         % sodio (mS/cm^2)
24         g.K(i)=(nmh.n(i)^4)*g_max.K; % condutancia especifica do potassio
25         % (mS/cm^2)
26     end
27
28     % calculo das correntes
29     I.membr(i)=I.s(i); % corrente membranas (mA/cm^2) e igual a de
30     % estimulacao
31     I.Na(i)=g.Na(i)*(Vm(i)-E.Na(1))/1e3; % corrente do sodio (mA/cm^2)
32     I.K(i)=g.K(i)*(Vm(i)-E.K(1))/1e3; % corrente do potassio (mA/cm^2)
33     I.L(i)=g.L*(Vm(i)-E.L(1))/1e3; % corrente leakage (mA/cm^2)
34     I.ion(i)=I.K(i)+I.Na(i)+I.L(i); % corrente ionica (mA/cm^2)
35     I.C(i)=I.membr(i)-I.ion(i); % corrente capacitiva (mA/cm^2)
36
37     % incrementos
38     dVm=I.C(i)*(1e3*dt)/Cm; % (mV)
39     [alpha,beta]=HHrates(Vm(i)-Vr); % output:(ms^-1); input:(mV)
40     dn=dt*(alpha(1)*(1-nmh.n(i))-beta(1)*nmh.n(i));
41     dm=dt*(alpha(2)*(1-nmh.m(i))-beta(2)*nmh.m(i));
42     dh=dt*(alpha(3)*(1-nmh.h(i))-beta(3)*nmh.h(i));
43
44     if (i~=n_iter) % actualizacao dos valores futuros
45         Vm(i+1)=Vm(i)+dVm; % (mV)
46         nmh.n(i+1)=nmh.n(i)+dn;
47         nmh.m(i+1)=nmh.m(i)+dm;
48         nmh.h(i+1)=nmh.h(i)+dh;
49     end
50
51 end

```

52  
53 **end**

#### Função *HHrates.m*

```

1 function [alpha, beta] = HHrates(vm)
2 %[alpha, beta] = HHrates(vm)
3 % Retorna dois vectores 1x3 com as constantes alpha e beta para as
4 % subunidades n, m, h respectivamente; vm tem de estar em mV e as
5 % constantes tem as unidades de ms-1;
6
7 alpha=zeros(1,3);
8 beta=zeros(1,3);
9
10 if (vm==10)
11     % caso da singularidade de alpha_n
12     alpha(1)=0.1;
13 else
14     alpha(1)=0.01*(10-vm)/(exp((10-vm)/10)-1);
15 end
16
17 beta(1)=0.125*exp(-vm/80);
18
19 if (vm==25)
20     % caso da singularidade de alpha_m
21     alpha(2)=1;
22 else
23     alpha(2)=0.1*(25-vm)/(exp(0.1*(25-vm))-1);
24 end
25
26 beta(2)=4*exp(-vm/18);
27
28 alpha(3)=0.07*exp(-vm/20);
29 beta(3)=1/(exp((30-vm)/10)+1);

```

#### Função *stimulus\_current.m*

```

1 function [Is] = stimulus_current(dt, t_i, t_estimulacao, Amp_Is, n_iter)
2 %[Is] = stimulus_current(t_i, t_estimulacao, Amp_Is)
3 % Cria o vector da corrente de estimulacao
4
5 Is=[zeros(1, floor(t_i/dt)), ones(1, floor(t_estimulacao/dt))*Amp_Is, ...
6     zeros(1, floor(n_iter-(t_estimulacao+t_i)/dt))]; % vector da corrente de
7 % estimulacao
8
9 end

```

#### Função *dialog\_box\_tempos.m*

```

1 function [] = dialog_box_tempos(t_i, t_estimulacao)
2 [] = dialog_box_tempos(t_i, t_estimulacao)
3 % Cria uma box de dialogo para avisar o utilizador dos valores de tempo
4 % do inicio e da duracao da estimulacao apos discretizacao pelo passo
5 % temporal
6

```

```

7 d = dialog('Position',[550 350 250 120],'Name','Variaveis');
8
9 message = {'Valor de tempo inicial = ', num2str(t_i), ' ms'},...
10 ['Duracao da estimulacao = ', num2str(t_estimulacao), ' ms']};
11 uicontrol('Parent',d,'Style','text','Position',[20 60 210 40],...
12 'String',message);
13
14 uicontrol('Parent',d,'Position',[85 20 70 25],'String','Fechar',...
15 'Callback','delete(gcf)'); % cria botao apra fechar a janela
16
17 uiwait(d) % espera ate o utilizador fechar a janela
18
19 end

```

### Script *graphics.m*

```

1 % Cria um novo handle com uma descricao das propriedades da corrente de
2 % estimulacao e graficos das correntes, condutancias especificas, potencial
3 % de membrana e probabilidades de abertura das subunidades dos canais,
4 % tudo em funcao do tempo
5
6 figure,
7 set(gcf,'Position',[3 40 1380 645],'color',[223 223 223]/248)
8
9 % descricao das caracteristicas da estimulacao
10 h = subplot(3, 2, 1);
11 str={'Caracteristicas da corrente de estimulacao I_s',' ',...
12 ['Instante inicial de estimulacao: ',num2str(t_i), ' ms'],...
13 ['Duracao da estimulacao: ',num2str(t_estimulacao), ' ms'],...
14 ['Amplitude da estimulacao: ',num2str(Amp_Is), ' mA/cm^2'],' ',...
15 'Regioes a verde correspondem ao periodo de estimulacao'};
16 text(0.05,0.5,str);
17 set(h,'visible','off')
18
19 % plot do potencial membranar em funcao do tempo
20 subplot(3,2,2), hold on,
21 plot(t,Vm,'k','Linewidth',2)
22 plot(t,repmat(Vr,1,n_iter),'—b','Linewidth',2)
23 y=ylim;
24 h_rect=rectangle('Position',[t_i,y(1),t_estimulacao,y(2)-y(1)],...
25 'FaceColor',[144,238,144]/256,'Linestyle','none');
26 uistack(h_rect,'bottom')
27 grid on
28 title('Potencial de membrana')
29 ylabel('V (mV)')
30 xlabel('Tempo (ms)')
31 legend('V_m','V_r',-1)
32
33 % plot das correntes de sodio, potassio e leakage em funcao do tempo
34 subplot(3,2,3), hold on,
35 plot(t,I_Na,'b','Linewidth',2)
36 plot(t,I_K,'r','Linewidth',2)
37 plot(t,I_L,'k','Linewidth',2)
38 y=ylim;
39 h_rect=rectangle('Position',[t_i,y(1),t_estimulacao,y(2)-y(1)], 'FaceColor'
40 ,[144,238,144]/256, 'Linestyle','none');
41 uistack(h_rect,'bottom')
42 grid on
43 title('Correntes de sodio, potassio e leakage')
44 ylabel('I (mA / cm^2)')
45 xlabel('Tempo (ms)')

```

```

45 legend( 'I_{Na}', 'I_K', 'I_L', -1)
46
47 % plot das correntes ionica, capacitiva, e membrana (= estimulacao)
48 subplot(3,2,5), hold on,
49 plot(t, I.ion, 'm', 'Linewidth', 2)
50 plot(t, I.C, 'c', 'Linewidth', 2)
51 plot(t, I.membr, 'k', 'Linewidth', 2)
52 y=ylim;
53 h_rect=rectangle( 'Position', [t_i, y(1), t_estimulacao, y(2)-y(1)], 'FaceColor'
    , [144, 238, 144]/256, 'LineStyle', 'none');
54 uistack(h_rect, 'bottom')
55 grid on
56 title('Correntes capacitiva, ionica e membrana')
57 ylabel('I (mA / cm^2)')
58 xlabel('Tempo (ms)')
59 legend( 'I_{ion}', 'I_C', 'I_m= I_s', -1)
60
61 % plot das condutancias especificas do sodio e do potassio em funcao do
62 % tempo
63 subplot(3,2,4), hold on,
64 plot(t, g.Na, 'b', 'Linewidth', 2)
65 plot(t, g.K, 'r', 'Linewidth', 2)
66 y=ylim;
67 h_rect=rectangle( 'Position', [t_i, y(1), t_estimulacao, y(2)-y(1)], 'FaceColor'
    , [144, 238, 144]/256, 'LineStyle', 'none');
68 uistack(h_rect, 'bottom')
69 grid on
70 title('Condutancias especificas do sodio e potassio')
71 ylabel({'Condutancia especifica', 'da membrana (mS/cm^2)'})
72 xlabel('Tempo (ms)')
73 legend( 'g_{Na}', 'g_{K}', -1)
74
75 % plot das probabilidades das subunidades n, m e h dos canais ionicos
76 % estarem abertas em funcao do tempo
77 subplot(3,2,6), hold on,
78 plot(t, nmh.n, 'r', 'Linewidth', 2)
79 plot(t, nmh.m, 'b', 'Linewidth', 2)
80 plot(t, nmh.h, 'c', 'Linewidth', 2)
81 y=ylim;
82 h_rect=rectangle( 'Position', [t_i, y(1), t_estimulacao, y(2)-y(1)], 'FaceColor'
    , [144, 238, 144]/256, 'LineStyle', 'none');
83 uistack(h_rect, 'bottom')
84 grid on
85 title({'Probabilidade de estarem abertas', 'as subunidades dos canais ionicos'})
86 ylabel({'Probabilidade de uma', 'subunidade estar aberta'})
87 xlabel('Tempo (ms)')
88 legend( 'n', 'm', 'h', -1)

```

Script *main\_2.m*

```

1 %%%%%%%%%%%%%%%%%%%%%%%%%%%%%%%%%%%%%%%%%%%%%%%%%%%%%%%%%%%%%%%%%%%%%%%%%%
2 %                                TRABALHO PRATICO – 2 PARTE                                %
3 %%%%%%%%%%%%%%%%%%%%%%%%%%%%%%%%%%%%%%%%%%%%%%%%%%%%%%%%%%%%%%%%%%%%%%%%%%
4 % Simulacao da propagacao espacial e temporal de um potencial de acao %
5 % atraves da implementacao das equacoes do cabo. Determinacao do %
6 % limiar da corrente de estimulacao para um estimulo de 100us numa %
7 % fibra com um raio de 300um ( alinea b ). Analise visual da %
8 % propagacao dos potenciais ( alineas c e d ). Analise da influencia %
9 % do raio da fibra na velocidade de propagacao dos potenciais de acao %
10 %%%%%%%%%%%%%%%%%%%%%%%%%%%%%%%%%%%%%%%%%%%%%%%%%%%%%%%%%%%%%%%%%%%%%%%%%%
11

```

```

12 % limpa o workspace; fecha handles abertos; limpa a consola;
13 clear; close all; clc;
14
15
16 %%%%%%%%%%%%%%%%%%%%%%%%%%%%%%%%%%%%%%%%%%%%%%%%%%%%%%%%%%%%%%%%%%%%%%%%%%
17 %                                CONSTANTES                                %
18 %%%%%%%%%%%%%%%%%%%%%%%%%%%%%%%%%%%%%%%%%%%%%%%%%%%%%%%%%%%%%%%%%%%%%%%%%%
19
20 Ri=30;          % ohm.cm
21 Re=20;          % ohm.cm
22
23 Vr=-60; % potencial de repouso (mV)
24 E.K=-72.1; % potencial de Nernst do potassio (mV)
25 E.Na=52.4; % potencial de Nernst do sodio (mV)
26 E.L=-49.187; % potencial de Nernst associado ao leakage (mV)
27
28 Cm=1; % capacidade especifica da membrana (uF/cm^2)
29
30 g_max.Na=120; % condutancia max. espec. da membrana para o sodio (mS/cm^2)
31 g_max.K=36; % condutancia max. espec. da membrana para o potassio (mS/cm^2)
32 g.L=0.3; % condutancia espec. da membrana associada ao leakage (mS/cm^2)
33
34 %%
35
36 %%%%%%%%%%%%%%%%%%%%%%%%%%%%%%%%%%%%%%%%%%%%%%%%%%%%%%%%%%%%%%%%%%%%%%%%%%
37 %                                SIMULACOES                                %
38 %%%%%%%%%%%%%%%%%%%%%%%%%%%%%%%%%%%%%%%%%%%%%%%%%%%%%%%%%%%%%%%%%%%%%%%%%%
39
40 %%%%%%%%%%%%%%%%%%%%%%%%%%%%%%%%%%%%%%%%%%%%%%%%%%%%%%%%%%%%%%%%%%%%%%%%%%
41 %                                ALINEA A)                                %
42 %%%%%%%%%%%%%%%%%%%%%%%%%%%%%%%%%%%%%%%%%%%%%%%%%%%%%%%%%%%%%%%%%%%%%%%%%%
43
44 dx=0.05; % discretizacao espacial (cm)
45 dt=2e-3; % discretizacao temporal (ms)
46 a=0.03; % raio da fibra (cm)
47
48 % valor de mesh ratio para os parametros definidos
49 mesh_ratio=dt*1e3/((Ri/a)*(Cm*2)*dx^2);
50 fprintf('Mesh ratio = %f \n', mesh_ratio);
51
52 %%
53
54 %%%%%%%%%%%%%%%%%%%%%%%%%%%%%%%%%%%%%%%%%%%%%%%%%%%%%%%%%%%%%%%%%%%%%%%%%%
55 %                                ALINEA B)                                %
56 %%%%%%%%%%%%%%%%%%%%%%%%%%%%%%%%%%%%%%%%%%%%%%%%%%%%%%%%%%%%%%%%%%%%%%%%%%
57
58 %%%%%%%%%%%%%%%%%%%%%%%%%%%%%%%%%%%%%%%%%%%%%%%%%%%%%%%%%%%%%%%%%%%%%%%%%%
59 %                                PARAMETROS DO UTILIZADOR                                %
60 %%%%%%%%%%%%%%%%%%%%%%%%%%%%%%%%%%%%%%%%%%%%%%%%%%%%%%%%%%%%%%%%%%%%%%%%%%
61
62 prompt={'Precisao para o limiar da corrente de estimulacao (\mu A/cm)'};
63 name = 'Input';
64 defaultans = {' '};
65 options.Interpreter = 'tex';
66 user_input = inputdlg(prompt, name, [1 60], defaultans, options);
67 precisao=str2num(user_input{1});
68 precisao=precisao/1e3;
69
70 %%%%%%%%%%%%%%%%%%%%%%%%%%%%%%%%%%%%%%%%%%%%%%%%%%%%%%%%%%%%%%%%%%%%%%%%%%
71 %                                INICIALIZACAO DE VARIAVEIS                                %
72 %%%%%%%%%%%%%%%%%%%%%%%%%%%%%%%%%%%%%%%%%%%%%%%%%%%%%%%%%%%%%%%%%%%%%%%%%%
73
74 t_estimulacao=0.1; % duracao da estimulacao (ms)

```



```

75 t_i=0; % instante inicial da estimulacao (ms)
76 tmax=10; % tempo total da simulacao (ms)
77
78 N=100;
79 n_iter=tmax/dt+1; % numero de iteracoes realizadas na simulacao
80
81 nmh.n=zeros(n_iter,N); % vector para a probabilidade de estar aberta uma
82 % subunidade n
83 nmh.m=zeros(n_iter,N); % vector para a probabilidade de estar aberta uma
84 % subunidade m
85 nmh.h=zeros(n_iter,N); % vector para a probabilidade de estar aberta uma
86 % subunidade h
87
88 nmh.n(1,:)=0.31768; % probabilidade de estar aberta uma subunidade n em t=0
89 nmh.m(1,:)=0.05293; % probabilidade de estar aberta uma subunidade m em t=0
90 nmh.h(1,:)=0.59612; % probabilidade de estar aberta uma subunidade h em t=0
91
92 g.Na=zeros(n_iter,N); % vector para a condutancia especifica da membrana
93 % para o sodio
94 g.K=zeros(n_iter,N); % vector para a condutancia especifica da membrana
95 % para o potassio
96
97 ip=zeros(n_iter,N); % corrente de estimulacao (mA/cm)
98
99 Vm=zeros(n_iter,N); % potencial de membrana
100 Vm(1,:)=Vr; % potencial de membrana em t=0
101
102 %%%%%%%%%%%%%%%%%%%%%%%%%%%%%%%%%%%%%%%%%%%%%%%%%%%%%%%%%%%%%%%%%%%%%%%%%%
103 %              SIMULACAO              %
104 %%%%%%%%%%%%%%%%%%%%%%%%%%%%%%%%%%%%%%%%%%%%%%%%%%%%%%%%%%%%%%%%%%%%%%%%%%
105
106 Amp_ip=[-2, -1.25, 0]; % valores iniciais de intensidade da corrente de
107 % estimulacao (mA/cm^2)
108 get_max=1; % confirma se dentro do intervalo esta um potencial de acao
109 cond=1; % garante que o ciclo while se inicia
110
111 while(cond)
112
113     if(get_max)
114         ip(1:t_estimulacao/dt,1)=Amp_ip(1); % vector cuja intensidade
115         % do estímulo (mA/cm) e dada o maximo absoluto de Amp_ip
116         ip(1:t_estimulacao/dt,N)=-Amp_ip(1);
117         [~,~,Vm,~]=equacao_cabo(Vm,Vr,E,dx,dt,a,Re,Ri,Cm,ip,n_iter,N,g,...
118             g_max,nmh);
119         % simula os resultados com ip definido anteriormente e apenas
120         % guarda o potencial da membrana para analise
121     end
122
123     % caso em algum instante o potencial da membrana reduzido ultrapasasse
124     % 30mV entao um potencial de acao ocorre, ignorando os instantes a
125     % seguir a estimulacao
126     if (any(any((Vm(5*t_estimulacao/dt:end,:)-Vr)>30)) || get_max==0)
127         get_max=0;
128         % define-se uma intensidade de estímulo intermedia
129         ip(1:t_estimulacao/dt,1)=Amp_ip(2);
130         ip(1:t_estimulacao/dt,N)=-Amp_ip(2);
131         % simula-se com a intensidade de estímulo intermedia
132         [~,~,Vm,~]=equacao_cabo(Vm,Vr,E,dx,dt,a,Re,Ri,Cm,ip,n_iter,N,g,...
133             g_max,nmh);
134
135         % verifica-se se com a intensidade de estímulo intermedia ocorre
136         % algum potencial de acao
137         if any(any((Vm(5*t_estimulacao/dt:end,:)-Vr)>30))

```

```

138         % se ocorrer , entao o limiar de excitabilidade encontra-se
139         % entre o valor mais baixo e o valor intermedio
140         Amp_ip(1)=Amp_ip(2) ;
141         Amp_ip(2)=mean(Amp_ip(2:3)) ;
142     else
143         % se nao ocorrer , entao o limiar de excitabilidade encontra-se
144         % entre o valor intermedio e o valor mais alto
145         Amp_ip(3)=Amp_ip(2) ;
146         Amp_ip(2)=mean(Amp_ip(1:2)) ;
147     end
148     cond=(abs(Amp_ip(1)-Amp_ip(3))/2)>precisao; % avalia-se se metade
149     % do tamanho do intervalo ja e inferior a precisao desejada pelo
150     % utilizador
151 else
152     % caso nao ocorra potencial de acao com max(Amp_Is) entao esse
153     % valor e duplicado
154     Amp_ip=Amp_ip*2;
155 end
156 end
157
158 fprintf('Estimativa da intensidade limiar = %f %c %f mA/cm \n' ,...
159         Amp_ip(2) , char(177) , precisao) ; % imprime na consola a estimativa do
160 % limiar de excitabilidade
161
162 %%
163
164 %%%%%%%%%%%%%%%%%%%%%%%%%%%%%%%%%%%%%%%%%%%%%%%%%%%%%%%%%%%%%%%%%%%%%%%%%%%%%%%
165 %                               ALINEA C)                               %
166 %%%%%%%%%%%%%%%%%%%%%%%%%%%%%%%%%%%%%%%%%%%%%%%%%%%%%%%%%%%%%%%%%%%%%%%%%%%%%%%
167
168 %%%%%%%%%%%%%%%%%%%%%%%%%%%%%%%%%%%%%%%%%%%%%%%%%%%%%%%%%%%%%%%%%%%%%%%%%%%%%%%
169 %      INICIALIZACAO DE VARIAVEIS      %
170 %%%%%%%%%%%%%%%%%%%%%%%%%%%%%%%%%%%%%%%%%%%%%%%%%%%%%%%%%%%%%%%%%%%%%%%%%%%%%%%
171
172 t=20; % tempo total de simulacao (ms)
173 N=601; % numero de nodos
174 n_iter=t/dt+1; % numero de iteracoes temporais
175
176 nmh.n=zeros(n_iter,N) ; % vector para a probabilidade de estar aberta uma
177 % subunidade n
178 nmh.m=zeros(n_iter,N) ; % vector para a probabilidade de estar aberta uma
179 % subunidade m
180 nmh.h=zeros(n_iter,N) ; % vector para a probabilidade de estar aberta uma
181 % subunidade h
182
183 nmh.n(1,:)=0.31768; % probabilidade de estar aberta uma subunidade n em t=0
184 nmh.m(1,:)=0.05293; % probabilidade de estar aberta uma subunidade m em t=0
185 nmh.h(1,:)=0.59612; % probabilidade de estar aberta uma subunidade h em t=0
186
187 g.Na=zeros(n_iter,N) ; % vector para a condutancia especifica da membrana
188 % para o sodio
189 g.K=zeros(n_iter,N) ; % vector para a condutancia especifica da membrana
190 % para o potassio
191
192 Vm=zeros(n_iter,N) ; % vector do potencial de membrana
193
194 Vm(1,:)=Vr; % potencial de membrana em t=0
195
196 ip=zeros(n_iter,N) ; % vector com a corrente de estimulacao (mA/cm)
197 Amp_ip=-2; % amplitude da corrente de estimulacao
198 t_estimulacao=0.1; % duracao da estimulacao (ms)
199
200 %%%%%%%%%%%%%%%%%%%%%%%%%%%%%%%%%%%%%%%%%%%%%%%%%%%%%%%%%%%%%%%%%%%%%%%%%%%%%%%

```

```

201 %                               SIMULACAO                               %
202 %%%%%%%%%%%%%%%%%%%%%%%%%%%%%%%%%%%%%%%%%%%%%%%%%%%%%%%%%%%%%%%%%%%%%%%%%%
203
204 ip(1:(t_estimulacao/dt),1)=Amp_ip; % vector com a corrente de estimulacao
205 % (mA/cm)
206 ip(1:(t_estimulacao/dt),N)=-Amp_ip; % vector com a corrente de estimulacao
207 % (mA/cm)
208
209 % simulacao com os parametros definidos anteriormente
210 [I,nmh,Vm,g] = equacao_cabo(Vm,Vr,E,dx,dt,a,Re,Ri,Cm,ip,n_iter,N,g,...
211     g_max,nmh);
212
213 % instante de tempo para fazer os graficos em funcao da posicao
214 t_graph=10;
215 graphics_2(0:dx:(N-1)*dx,Vm(t_graph/dt,:),I.Na(t_graph/dt,:),...
216     I.K(t_graph/dt,:),I.memb(t_graph/dt,:),I.i(t_graph/dt,:),t_i,...
217     t_estimulacao,Amp_ip,'posicao')
218
219 %%
220
221 %%%%%%%%%%%%%%%%%%%%%%%%%%%%%%%%%%%%%%%%%%%%%%%%%%%%%%%%%%%%%%%%%%%%%%%%%%
222 %                               ALINEA D)                               %
223 %%%%%%%%%%%%%%%%%%%%%%%%%%%%%%%%%%%%%%%%%%%%%%%%%%%%%%%%%%%%%%%%%%%%%%%%%%
224
225 % nodo para fazer os graficos em funcao do tempo
226 N_graph=300;
227 graphics_2(0:dt:t,Vm(:,N_graph),I.Na(:,N_graph),I.K(:,N_graph),...
228     I.memb(:,N_graph),I.i(:,N_graph),t_i,t_estimulacao,Amp_ip,'tempo')
229
230 %%
231
232 %%%%%%%%%%%%%%%%%%%%%%%%%%%%%%%%%%%%%%%%%%%%%%%%%%%%%%%%%%%%%%%%%%%%%%%%%%
233 %                               ALINEA E. ii                             %
234 %%%%%%%%%%%%%%%%%%%%%%%%%%%%%%%%%%%%%%%%%%%%%%%%%%%%%%%%%%%%%%%%%%%%%%%%%%
235
236 %%%%%%%%%%%%%%%%%%%%%%%%%%%%%%%%%%%%%%%%%%%%%%%%%%%%%%%%%%%%%%%%%%%%%%%%%%
237 %   INICIALIZACAO DE VARIAVEIS   %
238 %%%%%%%%%%%%%%%%%%%%%%%%%%%%%%%%%%%%%%%%%%%%%%%%%%%%%%%%%%%%%%%%%%%%%%%%%%
239
240 a_min=0.0003; % raio minimo da fibra testado (cm)
241 a_max=0.03; % raio maximo da fibra testado (cm)
242 n=20; % pontos
243 a=logspace(log10(a_min),log10(a_max),n); % lista de raios de fibra
244 % testados (cm)
245
246 dx_2=sqrt(1e3*a*dt/(2*mesh_ratio*Ri*Cm)); % discretizacoes espaciais para
247 % cada raio de fibra (cm)
248 N=ceil(30./dx_2)+1; % numero de nodos para cada raio de fibra
249 t=20; % tempo total de simulacao (ms)
250 n_iter_total=round(t./dt)+1; % numero de iteracoes temporais por cada raio
251 % de fibra
252
253 t_estimulacao=0.1; % tempo de estimulacao
254 Ip=-1/(pi*a(red)); % intensidade da corrente de estimulacao (mA/cm^2)
255
256 v=zeros(1,n); % vector para as velocidades
257
258 n_max=1.4e7; % LIMITE MAXIMO DE RAM: 100MB por matriz
259
260 %%%%%%%%%%%%%%%%%%%%%%%%%%%%%%%%%%%%%%%%%%%%%%%%%%%%%%%%%%%%%%%%%%%%%%%%%%
261 %                               SIMULACAO                               %
262 %%%%%%%%%%%%%%%%%%%%%%%%%%%%%%%%%%%%%%%%%%%%%%%%%%%%%%%%%%%%%%%%%%%%%%%%%%
263

```

```

264 for i=1:n
265
266     % vectores para as posicoes e os instantes correspondentes aos maximos
267     % do potencial em cada nodo
268     x=0:dx_2(i):(N(i)-1)*dx_2(i);
269     y=zeros(1,N(i));
270
271     % potencial maximo em cada nodo
272     max_V=zeros(1,N(i));
273
274     n_col=0; % numero de instantes de tempo acumulados por segmentacao do
275     % codigo
276     break_down=0; % numero de segmentacoes do codigo
277
278     n_elementos=N(i)*n_iter_total; % numero de elementos necessarios para
279     % cada matriz para um determinado raio
280     breaks=ceil(n_elementos/n_max)-1; % numero de vezes que se tem de
281     % segmentar as matrizes/codigo
282
283     while(break_down<=breaks)
284
285         if(break_down==breaks)
286             n_iter=n_iter_total-n_col;
287         else
288             n_iter=round(n_max/N(i));
289         end
290
291         % inicializacao de matrizes
292         nmh.n=zeros(n_iter,N(i));
293         nmh.m=zeros(n_iter,N(i));
294         nmh.h=zeros(n_iter,N(i));
295         g.Na=zeros(n_iter,N(i));
296         g.K=zeros(n_iter,N(i));
297         Vm=zeros(n_iter,N(i));
298         ip=zeros(n_iter,N(i));
299
300         if(break_down==0)
301             % condicoes iniciais
302             nmh.n(1,:)=0.31768;
303             nmh.m(1,:)=0.05293;
304             nmh.h(1,:)=0.59612;
305             Vm(1,:)=Vr;
306             ip(1:round(t_estimulacao/dt),1)=Ip*(2*pi*a(i));
307             ip(1:round(t_estimulacao/dt),N(i))=-Ip*(2*pi*a(i));
308         else
309             % continuacao com os valores da ultima segmentacao
310             nmh.n(1,:)=old.n;
311             nmh.m(1,:)=old.m;
312             nmh.h(1,:)=old.h;
313             Vm(1,:)=old.Vm;
314         end
315
316         % simulacao para cada raio de fibra
317         [~,nmh,Vm,~]=equacao_cabo(Vm,Vr,E,dx_2(i),dt,a(i),Re,Ri,Cm,ip,n_iter,N(
318             i),g,g_max,nmh);
319
320         % calculo do maximo do potencial de membrana por cada nodo e
321         % registo dos instantes
322         for j=1:N(i)
323             if (max(Vm(2:end,j))-Vr)>max([30,max_V(j)-Vr])
324                 max_V(j)=max(Vm(2:end,j));
325                 y(j)=dt*(find(Vm(2:end,j)==max_V(j))-1+n_col);
326             end
327         end
328     end
329 end

```

```

326         end
327
328         n_col=n_col+n_iter; % numero de instantes de tempo acumulados com
329         % a segmentacao
330
331         % guarda os ultimos valores da segmentacao anterior
332         old.n=nmh.n(end,:);
333         old.m=nmh.m(end,:);
334         old.h=nmh.h(end,:);
335         old.Vm=Vm(end,:);
336
337         disp([ num2str(break_down), ' / ', num2str(breaks), '      a=', num2str(a(i)*1e4
338             ), 'um' ])
339         break_down=break_down+1;
340
341     end
342
343     % exclusao dos nodos em que nao houve potencial e regressao linear para
344     % o calculo da velocidade
345     x=x(y~=0);
346     y=y(y~=0);
347     v(i)=(x(50:end)-x(50))*(pinv(y(50:end)-y(50)));
348     disp([ 'v(a=', num2str(a(i)*1e4), 'um)= ', num2str(v(i)), ' cm/ms' ]);
349 end
350
351 % grafico da velocidade de propagacao em funcao do raio da fibra
352 figure,
353 set(gcf,'Position',[350 250 600 300],'color',[223 223 223]/248)
354 plot(a*1e4,v,'k','Linewidth',2)
355 grid on
356 title('Velocidade do potencial de acao em funcao do raio da fibra')
357 ylabel('Velocidade (cm/ms)')
358 xlabel('Raio da fibra (\mu m)')

```

### Função *graphics\_2.m*

```

1 function [] = graphics_2(x,Vm,INa,IK,Imemb,Ii,t_i,t_estimulacao,Amp_ip,option)
2 %[] = graphics_2(x,Vm,INa,IK,Imemb,Ii,t_i,t_estimulacao,Amp_ip,option)
3 % Faz o plot do potencial membranar, das correntes axial intracelular,
4 % de sodio, de potassio e membranas, todos em funcao da option, que pode
5 % ser tempo ou posicao
6
7 Vr=-60; % potencial de repouso (mV)
8
9 figure,
10 set(gcf,'Position',[200 200 1000 400],'color',[223 223 223]/248)
11
12 % descricao das caracteristicas da estimulacao
13 h = subplot(2, 2, 1);
14 str={'Caracteristicas da corrente de estimulacao i_p', ' ', ...
15     ['Instante inicial de estimulacao: ', num2str(t_i), ' ms'], ...
16     ['Duracao da estimulacao: ', num2str(t_estimulacao), ' ms'], ...
17     ['Amplitude da estimulacao: ', num2str(Amp_ip), ' mA/cm']};
18 text(0.05,0.5,str);
19 set(h,'visible','off')
20
21 % plot do potencial membranar em funcao da option
22 subplot(2,2,3), hold on,
23 plot(x,Vm,'k','Linewidth',2)
24 plot(x,Vr,'-b','Linewidth',2)

```

```

25 grid on
26 title('Potencial de membrana')
27 ylabel('V (mV)')
28 if(strcmp(option,'tempo'))
29     xlabel('Tempo (ms)')
30 elseif(strcmp(option,'posicao'))
31     xlabel('Posicao (cm)')
32 else
33     error('option nao reconhecida: insira tempo ou posicao')
34 end
35 legend('V_m','V_r',-1)
36
37 % plot das correntes de sodio, potassio e transmembrar em funcao da
38 % option
39 subplot(2,2,2), hold on,
40 plot(x,INa,'b','Linewidth',2)
41 plot(x,IK,'r','Linewidth',2)
42 plot(x,Imemb,'g','Linewidth',2)
43 grid on
44 title('Correntes de sodio, potassio e membrar')
45 ylabel('I (mA / cm^2)')
46 if(strcmp(option,'tempo'))
47     xlabel('Tempo (ms)')
48 elseif(strcmp(option,'posicao'))
49     xlabel('Posicao (cm)')
50 else
51     error('option nao reconhecida: insira tempo ou posicao')
52 end
53 legend('I_{Na}','I_K','I_{memb}',-1)
54
55 % plot da corrente axial intracelular em funcao da option
56 subplot(2,2,4), hold on,
57 plot(x,Ii*1e3,'b','Linewidth',2)
58 grid on
59 title('Corrente axial intracelular')
60 ylabel('I (\mu A)')
61 if(strcmp(option,'tempo'))
62     xlabel('Tempo (ms)')
63 elseif(strcmp(option,'posicao'))
64     xlabel('Posicao (cm)')
65 else
66     error('option nao reconhecida: insira tempo ou posicao')
67 end
68 legend('I_i',-1)
69
70
71 end

```

#### Função *equacao\_cabo.m*

```

1 function [I,nmh,Vm,g] = equacao_cabo(Vm,Vr,E,dx,dt,a,Re,Ri,Cm,ip,n_iter,N,g,g_max
,nmh)
2 % [I,nmh,Vm,g] = equacao_cabo(Vm,Vr,E,dx,dt,a,Re,Ri,Cm,ip,n_iter,N,g,g_max,nmh)
3 % Implementa as equacoes do cabo, seguindo a mesma logica que a funcao
4 % HHmodel.m, alterando apenas I.memb e introduzindo I.i, enquanto
5 % introduz tambem sealed boundary conditions
6
7 ri=Ri/(pi*a^2); % resistencia intracelular por unidade de comprimento
8 % (ohm/cm)
9 re=Re/(3*pi*a^2); % resistencia extracelular por unidade de comprimento
10 % (ohm/cm)

```

```

11
12 I.memb=zeros(n_iter,N); % vector para a corrente transmembrana (mA/cm^2)
13 I.Na=zeros(n_iter,N); % vector para a corrente de sodio (mA/cm^2)
14 I.K=zeros(n_iter,N); % vector para a corrente de potassio (mA/cm^2)
15 I.L=zeros(n_iter,N); % vector para a corrente de leakage (mA/cm^2)
16 I.ion=zeros(n_iter,N); % vector para a corrente ionica (mA/cm^2)
17 I.C=zeros(n_iter,N); % vector para a corrente capacitiva (mA/cm^2)
18 I.i=zeros(n_iter,N); % vector para a corrente axial intracelular (mA/cm^2)
19
20 for i=1:n_iter
21
22     for j=1:N
23
24         g.Na(i,j)=(nmh.m(i,j)^3)*nmh.h(i,j)*g_max.Na; % condutancia
25         % especifica do sodio (mS/cm^2)
26         g.K(i,j)=(nmh.n(i,j)^4)*g_max.K; % condutancia especifica do
27         % potassio (mS/cm^2)
28
29         % calcula I.memb e I.i aplicando sealed boundary conditions
30         if (j==1)
31             I.memb(i,j)=( ( Vm(i,j+1) - Vm(i,j) )/(dx^2) - re*ip(i,j) ) / ...
32                 (2*pi*a*(ri+re));
33             I.i(i,j)=-( (Vm(i,j+1)-Vm(i,j))/dx - re*ip(i,j)/(2*pi*a) ) / ...
34                 (ri+re);
35         elseif (j==N)
36             I.memb(i,j)=( ( Vm(i,j-1) - Vm(i,j) )/(dx^2) - re*ip(i,j) ) / ...
37                 (2*pi*a*(ri+re));
38             I.i(i,j)=( re*ip(i,j)/(2*pi*a) )/(ri+re);
39         else
40             I.memb(i,j)=( ( Vm(i,j+1) - 2*Vm(i,j) + Vm(i,j-1) ) / ...
41                 (dx^2) - re*ip(i,j) )/(2*pi*a*(ri+re));
42             I.i(i,j)=-( (Vm(i,j+1)-Vm(i,j))/dx - re*ip(i,j)/(2*pi*a) ) / ...
43                 (ri+re);
44         end
45
46         I.Na(i,j)=g.Na(i,j)*(Vm(i,j)-E.Na(1))/1e3; % corrente do sodio
47         % (mA/cm^2)
48         I.K(i,j)=g.K(i,j)*(Vm(i,j)-E.K(1))/1e3; % corrente do potassio
49         % (mA/cm^2)
50         I.L(i,j)=g.L*(Vm(i,j)-E.L(1))/1e3; % corrente leakage
51         % (mA/cm^2)
52         I.ion(i,j)=I.K(i,j)+I.Na(i,j)+I.L(i,j); % corrente ionica
53         % (mA/cm^2)
54         I.C(i,j)=I.memb(i,j)-I.ion(i,j); % corrente capacitiva
55         % (mA/cm^2)
56
57         % VALORES FUTUROS
58         % incrementos
59         if (i~=n_iter)
60             dVm=I.C(i,j)*(1e3*dt)/Cm; % (mV)
61             [alpha,beta]=HHrates(Vm(i,j)-Vr); % output:(ms^-1); input:(mV)
62             dn=dt*(alpha(1)*(1-nmh.n(i,j))-beta(1)*nmh.n(i,j));
63             dm=dt*(alpha(2)*(1-nmh.m(i,j))-beta(2)*nmh.m(i,j));
64             dh=dt*(alpha(3)*(1-nmh.h(i,j))-beta(3)*nmh.h(i,j));
65
66             % actualizacao dos valores futuros
67             Vm(i+1,j)=Vm(i,j)+dVm; % (mV)
68             nmh.n(i+1,j)=nmh.n(i,j)+dn;
69             nmh.m(i+1,j)=nmh.m(i,j)+dm;
70             nmh.h(i+1,j)=nmh.h(i,j)+dh;
71         end
72     end
73 end

```

74

75

76

77 **end**